

# ФИЗИКО-ХИМИЧЕСКИЕ СВОЙСТВА ТВЕРДЫХ РАСТВОРОВ СОСТАВА $R_{0.6}Sr_{0.4}Co_{0.8}Fe_{0.2}O_{3-\Delta}$ ( $R = La, Pr, Nd, Sm, Eu$ )

**© 2004 О.С. Петрова \*, Е.В. Якубович \*\*, Г.П. Муравьева \*, В.А. Кецко \*\*,  
Н.Н. Олейников \***

\* – Московский государственный университет им. М.В.Ломоносова

\*\* – Институт общей и неорганической химии им. Н.С.Курнакова РАН, Москва

*Поступила в редакцию 11.10.07*

Предложена методика синтеза однофазных образцов твердых растворов состава  $Ln_{0.6}Sr_{0.4}Co_{0.8}Fe_{0.2}O_{3-\delta}$  ( $R = La, Pr, Nd, Sm$ ), в качестве исходных реагентов, для приготовления которых были использованы нитраты и карбонаты соответствующих металлов, которая позволяет снизить температуру синтеза на 200°C, а его продолжительность до трех часов.

На основе данных, полученных методами рентгенофазового и микроструктурного анализа, а также исследований процессов деградации и каталитических свойств, установлен оптимальный состав твердых растворов замещенных кобальтидов, а также условия получения высокоплотной керамики с целью использования ее в качестве кислородпроводящих мембранных материалов с улучшенными функциональными свойствами.

## ВВЕДЕНИЕ

В последнее время заметный интерес проявляется к твердым растворам кобальтидов, имеющих кубическую структуру перовскита  $A^{3+}B^{3+}O_3$  (как правило, в качестве ионов A в структуре выступают ионы РЗЭ, а ионов B – ионы 3d-переходных металлов, занимающие додекаэдрическую позицию в центре куба и октаэдрическую – в его вершинах соответственно). Указанный интерес к твердым растворам кобальтидов объясняется относительной простотой получения на их основе перовскита высокодефектных структур с высокой концентрацией анионных вакансий. Простейший путь создания аниондефицитных перовскитов – частичное гетеровалентное замещение ионов A на ионы щелочноземельных металлов M = Ba, Sr, Ca. Последующий дизайн проводящих и каталитических свойств указанных материалов обеспечивается подбором химического состава ионов в B-подрешетке.

В связи с этим, твердые растворы замещения состава  $R_{1-x}Sr_xCo_{1-y}Fe_yO_{3-\delta}$  могут оказаться перспективными кислородпроводящими мембранами для переработки природного газа в различные продукты органического синтеза. Необходимо отметить, что в качестве редкоземельного иона в структуре перовскита для получения удовлетворительных

каталитических и проводящих свойств обычно используется ион лантана (согласно литературным данным), а наиболее часто обсуждаемый состав твердого раствора –  $La_{0.6}Sr_{0.4}Co_{0.8}Fe_{0.2}O_{3-\delta}$ . В тоже время, работы, в которых кобальтиты были бы синтезированы с использованием ионов других редкоземельных элементов, практически отсутствуют. Настоящая работа посвящена синтезу твердых растворов состава  $R_{0.6}Sr_{0.4}Co_{0.8}Fe_{0.2}O_{3-\delta}$  (где R = La, Pr, Nd, Sm, Eu), а также изучению ряда физико-химических свойств синтезированных оксидных порошков кобальтитов при комнатных температурах.

## ЭКСПЕРИМЕНТАЛЬНАЯ ЧАСТЬ

Образцы твердых растворов состава  $R_{0.6}Sr_{0.4}Co_{0.8}Fe_{0.2}O_{3-\delta}$  (где R = La, Pr, Nd, Sm, Eu) были синтезированы с использованием комбинированного метода синтеза, сочетающего простоту керамического и эффективность химических методов гомогенизации. В качестве исходных веществ использовали смесь оксидов и нитратов, а также карбонат стронция. Для всех исходных веществ был проведен термogravimетрический анализ (TГА) на термоанализаторе TGD 7000 (фирмы ULVAK SINKU-RIKO, Япония) с целью установления содержания основного вещества (оксида металла) в используемых реагентах. Далее смесь растворяли в разбавленной

азотной кислоте. Таким образом, получали гомогенный раствор, который впоследствии упаривали в фарфоровой чашке на газовой горелке с постоянным перемешиванием. После прекращения выделения газа, твердый остаток прокаливали в тигле на газовой горелке. Разложение нитратов проходило без макроплавления шихты. Полученный прекурсор отжигали при  $850^{\circ}\text{C}$  (1 час) и дважды подвергали помолу в планетарной мельнице (фирмы FRITSCH, Германия) в течение 30 минут до и после отжига.

Окончательный синтез образцов проводили в виде таблеток ( $\varnothing=8$  мм,  $m=0.3$  г) в муфельной печи (КПС-11 Россия) медленным нагревом и выдержкой при  $1100^{\circ}\text{C}$  с последующим охлаждением до комнатной температуры.

РФА поликристаллических образцов осуществляли на дифрактометре ДРОН-3М. Для проведения фазового анализа образцов использовали базу данных JCPDS-PDF2. Микроструктуру исследуемых образцов изучали с помощью электронного микроскопа JEOL JEM-2000FX(II) (Япония) и LEO SUPRA 50DV (Германия).

Изучение процессов деградации замещенных кобальтидов стронция в водной среде проводили методом потенциометрического титрования. Ионометрию растворов (измерения pH) проводили с использованием иономера Эконикс-001 (НПО "Эконикс-эксперт", Россия). Полученные данные регистрировали с использованием ЭВМ (дискрет набора сигнала 1с).

Катализическую активность замещенных кобальтидов стронция изучали на примере модельной реакции разложения пероксида водорода с использованием кобальтидов, полученных в качестве катализатора при разных температурах спекания.

## ОБСУЖДЕНИЕ РЕЗУЛЬТАТОВ

По данным рентгенофазового анализа (рис.1) образцы твердых растворов состава  $R_{0.6}Sr_{0.4}Co_{0.8}Fe_{0.2}O_{3-\Delta}$  (где  $R=La, Pr, Nd, Sm$ ) являлись однофазными. Необходимо отметить, что лишь в европийсодержащем образце содержалось небольшое количество примесных фаз (до 3-5%).

Из анализа микрофотографий образцов, полученных при разных температурах спекания видно, что по мере повышения температуры спекания процесс ведет к последовательному монотонному уплотнению структуры и к повышению плотности образцов, а также к увеличению размеров кристаллитов. При этом необходимо отметить,

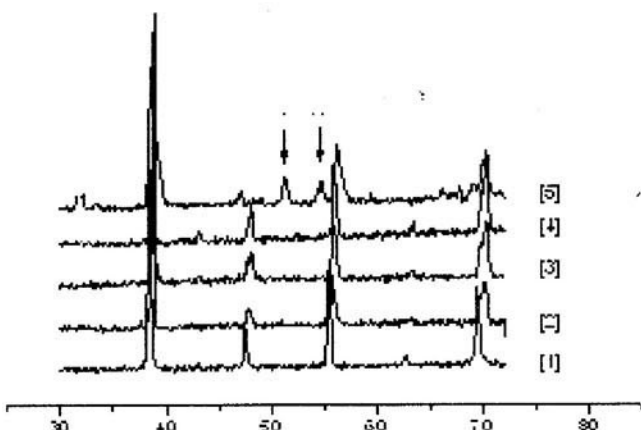


Рис. 1. Дифрактограммы образцов составов: [1]  $La_{0.6}Sr_{0.4}Co_{0.8}Fe_{0.2}O_{3-\Delta}$ ; [2]  $Pr_{0.6}Sr_{0.4}Co_{0.8}Fe_{0.2}O_{3-\Delta}$ ; [3]  $Nd_{0.6}Sr_{0.4}Co_{0.8}Fe_{0.2}O_{3-\Delta}$ ; [4]  $Sm_{0.6}Sr_{0.4}Co_{0.8}Fe_{0.2}O_{3-\Delta}$ ; [5]  $Eu_{0.6}Sr_{0.4}Co_{0.8}Fe_{0.2}O_{3-\Delta}$ ; \*; \*\* – примесные фазы; полученных спеканием при  $1100^{\circ}\text{C}$  с последующим охлаждением до комнатной температуры.

что механизм спекания, по-видимому, слабо изменяется в интервале температур  $1100^{\circ}\text{C} - 1150^{\circ}\text{C}$ . Для образцов, полученных в результате спекания в этом температурном интервале, формируется идентичная, достаточно пористая микроструктура. Заметное изменение последней начинается при  $T = 1175^{\circ}\text{C}$ , когда для всех рассматриваемых случаев микроструктура становится весьма своеобразной. На микрофотографиях образцов, полученных при этой температуре спекания, наблюдается формирование достаточно плотной керамической структуры с минимальной открытой пористостью, однако поверхность формирующихся при этом кристаллитов весьма несовершенна.

На микрофотографиях образцов, полученных при температуре спекания  $T=1200^{\circ}\text{C}$ , наряду с высокоплотной керамической структурой наблюдается уже и достаточно высокое совершенство поверхности кристаллов полученной керамики (см. рис.2).

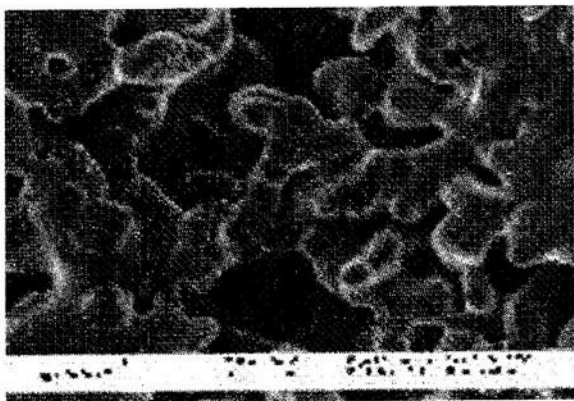
При использовании замещенных кобальтидов стронция в качестве мембран для конверсии природного газа в различные продукты органического синтеза следует обратить внимание на реакции, протекающие на рабочей поверхности мембранны:

$$\text{CH}_4 + 3\text{O}_2 \rightarrow \text{CO} + 2\text{H}_2\text{O} + 3\text{V}_o^- + 6\text{e}^-$$

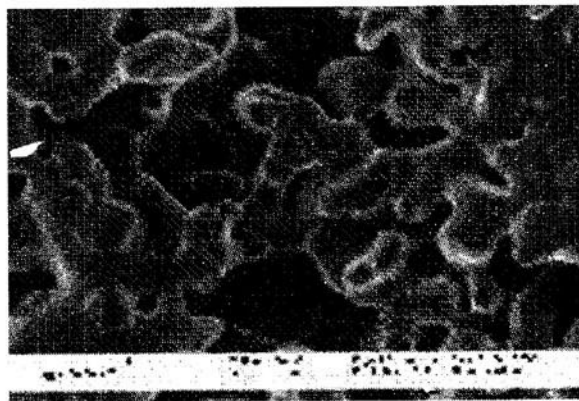
$$\text{CH}_4 + 2\text{O}_2 \rightarrow \text{HCOH} + \text{H}_2\text{O} + 2\text{V}_o^- + 4\text{e}^-$$

Таким образом, в результате приведенных реакций выделяется вода, способная разрушать поверхность мембранны, например по схеме:

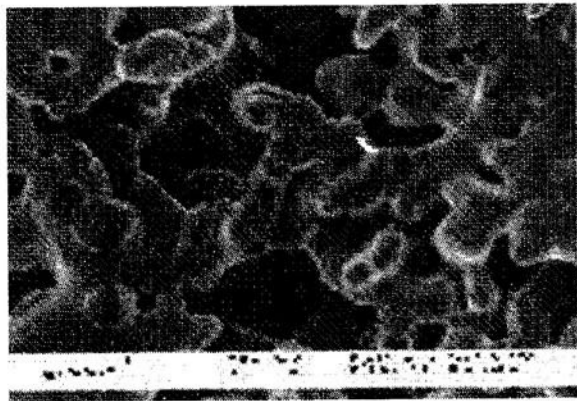
а)



б)



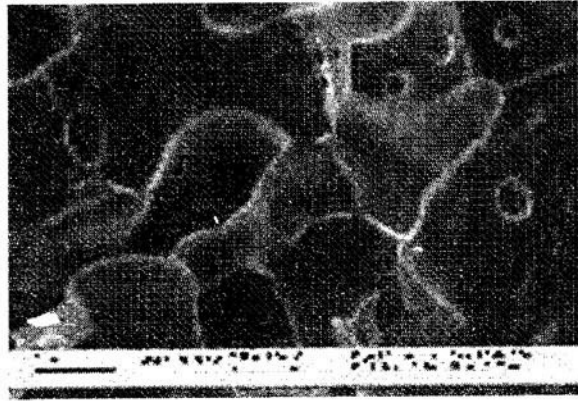
в)



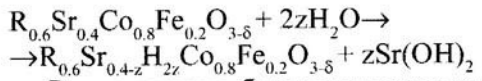
г)



д)



**Рис. 2.** Микрофотографии образца состава  $\text{La}_{0.6}\text{Sr}_{0.4}\text{Co}_{0.8}\text{Fe}_{0.2}\text{O}_{3-\delta}$ ,  $T_{\text{спек.}} = 1100, 1125, 1150, 1175$  и  $1200^{\circ}\text{C}$ .



В связи с этим, была проведена серия экспериментов по изучению процессов деградации замещенных кобальтитов стронция методом потенциометрического титрования в водной среде при комнатной температуре. Эти эксперименты носили оценочный характер степени деградации в зависимости от редкоземельного иона, входящего в состав материала.

В результате эксперимента был получен ряд зависимостей  $p\text{H}=f(\tau)$  для образцов, синтезированных при различных температурных режимах отжига и последующего охлаждения. Аппроксимация зависимостей  $p\text{H}=f(\tau)$  ( $\tau \rightarrow \infty$ ) позволила определить максимальное значение pH для каждого образца, то есть дать для всех образцов долю ионов  $\text{Sr}^{2+}$ , необратимо уходящих в раствор.

Зависимости  $p\text{H}_{\text{max}}=f(N(R))$ , где  $R$  – редкоземель-

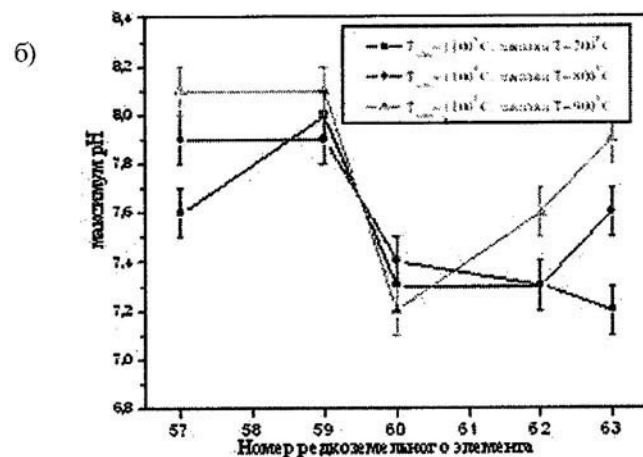
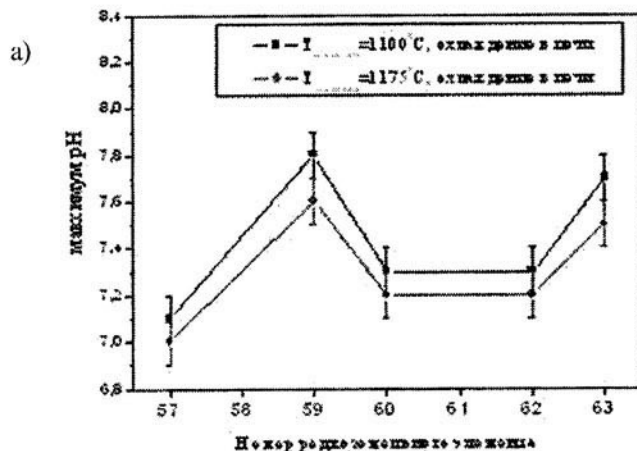


Рис.3. Зависимости  $pH_{max}=f(N(R))$ , где  $R$  – редкоземельный элемент в составе  $R_{0.6}Sr_{0.4}Co_{0.8}Fe_{0.2}O_{3-\delta}$ .

ный элемент в составе замещенного кобальтиита стронция  $R_{0.6}Sr_{0.4}Co_{0.8}Fe_{0.2}O_{3-\delta}$  представлены на рис.3.

Катализическая активность замещенных кобальтитов стронция была оценена с помощью экспериментов по измерению скорости модельной реакции разложения пероксида водорода с использованием замещенных кобальтитов стронция в качестве катализатора. Апроксимация полученных зависимостей  $a=f(\tau)$  ( $\tau \rightarrow 0$ ) позволила определить величину начальной скорости разложения перекиси водорода.

Зависимости скорости катализического разложения пероксида водорода  $da/d\tau=f(N(R))$ , где  $R$  – редкоземельный элемент в составе замещенного кобальтиита стронция  $R_{0.6}Sr_{0.4}Co_{0.8}Fe_{0.2}O_{3-\delta}$ , представлены на рис.4.

## ВЫВОДЫ

Разработана методика синтеза однофазных образцов твердых растворов замещения состава  $R_{0.6}Sr_{0.4}Co_{0.8}Fe_{0.2}O_{3-\delta}$  ( $R = \text{La, Pr, Nd, Sm, Eu}$ ), позволяющая снизить температуру синтеза на  $200^\circ\text{C}$ , а его продолжительность до трех часов.

Проведены эксперименты по изучению процессов деградации. Полученные результаты показывают, что наиболее устойчивым являются составы  $R_{0.6}Sr_{0.4}Co_{0.8}Fe_{0.2}O_{3-\delta}$ , где  $R = \text{Sm} > \text{La} > \text{Nd}$ .

Проведены эксперименты по измерению скорости катализического разложения пероксида водорода. Из анализа скорости процесса разложения видно, что наиболее катализически активным является состав  $R_{0.6}Sr_{0.4}Co_{0.8}Fe_{0.2}O_{3-\delta}$ , где  $R = \text{Pr}$ .

Исходя из данных, полученных из экспериментов по изучению деградации и катализических

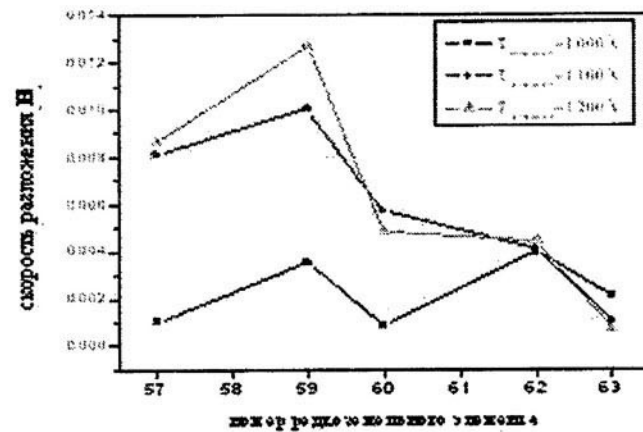


Рис.4. Зависимости скорости катализического разложения пероксида водорода  $d[H_2O_2]/dt=f(N(R))$ , где  $R$  – редкоземельный элемент в составе замещенного кобальтиита стронция  $R_{0.6}Sr_{0.4}Co_{0.8}Fe_{0.2}O_{3-\delta}$ .

свойств, можно ожидать, что оптимальными составами являются составы  $R'_{0.6-x}R''_xSr_{0.4}Co_{0.8}Fe_{0.2}O_{3-\delta}$ , где  $R' = \text{Sm, La, Nd}$ ;  $R'' = \text{Pr}$ .

## СПИСОК ЛИТЕРАТУРЫ

1. A.N.Petrov, V.A.Cherepanov, A Yu.Zuyev, V.M.Zhukovsky. Thermodynamic Stability of Ternary Oxides in Ln-M-O (Ln = La, Pr, Nd; M = Co, Ni, Cu) Systems // J. of Solid State Chemistry. 1988. № 77. P. 1-14.
2. A.N.Petrov, V.A.Cherepanov, O.F.Kononchuk and L.Ya.Gavrilova. Oxygen Nonstoichiometry of  $La_xSr_xCoO_{3-\delta}$  ( $0 < x < 0.6$ ) // J. of Solid State Chemistry. 1989. № 87. P. 69 - 76.
3. С.Ф.Пальгуев. Кислородный транспорт в перовскитных оксидах с высокой электронной про-

водимостью// Журн. прикладной химии/ 2000. Т. 73. № 11. С. 1745-1755.

4. R.H.E. van Doorn, A.J.Burggraaf. Structural aspects of the ionic conductivity of  $\text{La}_{1-x}\text{Sr}_x\text{CoO}_{3-z}$ . // J. Solid State Ionics. 2000. № 128. P. 65 -78.

5. В.А.Кецко, Н.Н.Олейников, Е.В.Кругляков, Н.Т.Кузнецов. Особенности процессов кислородного обмена в твердых растворах состава  $\text{R}_{0.6}\text{Sr}_{0.4}\text{Co}_{0.8}\text{Fe}_{0.2}\text{O}_{3-z}$  // Журн. неорганической химии. 2001. Т. 46. № 8. С.1237-1247.

6. A.N.Petrov, O.F.Kononchuk, A.V.Andreev, V.A.Cherepanov, P.Kofstad. Crystal structure, electrical and magnetic properties of  $\text{La}_{1-x}\text{Sr}_x\text{CoO}_{3-y}$  // J. Solid State Ionics. 1995. № 80. P.189 -199.

7. V.V.Kharton, F.M.Figueiredo, A.V.Kovalevsky, A.P.Viskup, E.N.Naumovich, A.A.Yaremchenko, I.A.Bashmakov, F.M.B.Marques. Processing, microstructure and properties of  $\text{LaCoO}_{3-z}$  ceramics // J. of the European Ceramic Society // 2001. № 21. P. 2301-2309.